



ՄԱԹԵՄԱՏԻԿԱԿԱՆ

ՏՆՏԵՍԱԳԻՏՈՒԹՅՈՒՆ

## ԳՈՒ ԽԱՉԱՏՐՅԱՆ

ԵՊՀ մաթեմատիկայի և մեխանիկայի  
ֆակուլտետի ասպիրանտ

### ՀԱՍԱՐԱԿ ԵՎ ՄԱՍՆԱԿԻ ՄԱՐՈՒՄՆԵՐՈՎ ԱՐԺԵԿՏՐՈՆԱՅԻՆ ՊԱՐՏԱՏՈՄՍԵՐԻ ՄԻՆՉԵՎ ՄԱՐՈՒՄ ԵԿԱՄՏԱԲԵՐՈՒԹՅՈՒՆՆԵՐԻ ՀԱՄԱՏԵՂ ՎԱՐՔԱԳԻԾԸ ՍՓՈԹ ԿՈՐԻ ՏԱՐԲԵՐ ՏԵՍՔԵՐԻ ԴԵՊՔՈՒՄ

Սույն հոդվածում, սփոթ կորի փարբեր փեսքերի պայմաններում, վերլուծվում է հասարակ արժեկտրոնային պարպարոմսի և մասնակի մարումներով արժեկտրոնային պարպարոմսի մինչև մարում եկամտաբերությունների համապետ վարքագիծը՝ պարպարոմսերի պարամետրերի (արժեկտրոնի դրոյք և արժեկտրոնների քանակ) հավասար լինելու ենթադրության պայմաններում: Նելսոն-Սիգելի մոդելի միջոցով, սիմուլյացնելով սփոթ կորեր և կիրառելով որոշ թվային մեթոդներ, ցույց է տրվում, որ ածող սփոթ կորի դեպքում հասարակ արժեկտրոնային պարպարոմսի մինչև մարում եկամտաբերությունը գերազանցում է մասնակի մարումներով արժեկտրոնային պարպարոմսի մինչև մարում եկամտաբերությանը: Նվազող փեսքով սփոթ կորի դեպքում հասարակ արժեկտրոնային պարպարոմսի մինչև մարում եկամտաբերությունը զիջում է մասնակի մարումներով արժեկտրոնային պարպարոմսի մինչև մարում եկամտաբերությանը: Պարպարոմսերի մինչև մարում եկամտաբերությունները համընկնում են միայն այն դեպքում, երբ սփոթ կորն ունի համահարթ փեսք:

**Հիմնաբառեր.** արժեկտրոնային պարպարոմս, մասնակի մարումներով արժեկտրոնային պարպարոմս, մինչև մարում եկամտաբերություն, Նելսոն-Սիգելի մոդել, ինտերպոլյացիա

JEL: C02, C10, G12

**Ներածություն:** Պարտատոմսը պարզագույն պարտքային արժեթուղթ է, որը հավաստում է տիրապետողի իրավունքը՝ նախատեսված ժամկետում պարտատոմս թողարկած անձից ստանալ պարտատոմսի անվանական արժեքը և արժեկտրոնային վճարումները: Առավել տարածված պարտատոմսի տեսակներից է հասարակ արժեկտրոնային պարտատոմսը, որի տիրապետողը որոշակի պարբերականությամբ ստանում է արժեկտրոնային վճարումներ, իսկ պարտատոմսի անվանական արժեքը վճարվում է պարտատոմսի մարման պահին: Պարտատոմսի տեսակներից է նաև մասնակի մարումներով արժեկտրոնային պարտատոմսը, որը, ի տարբերություն հասարակ արժեկտրոնային պարտատոմսի, անվանական արժեքը վճարում է որոշակի պարբերականությամբ՝ մասնակի վճարումների տեսքով:

Քանի որ մասնակի մարումներով արժեկտրոնային պարտատոմսերի անվանական արժեքը մարվում է աստիճանաբար, ապա դրանցով շատ ավելի հաճախ ֆինանսավորվում են ծրագրեր, որոնք կայուն եկամտի հոսք են ապահովում պարտատոմսի ժամկետայնության ընթացքում: Մասնակի մարումներով արժեկտրոնային պարտատոմսերով պարտքային միջոցների ներգրավումն առավելապես կիրառվում է կառավարությունների կողմից: Թեև մասնավոր հատվածում մասնակի մարումներով արժեկտրոնային պարտատոմսերը լայն կիրառություն չունեն (*Ջ. Գերարդ, Ե. Շվարց*<sup>1</sup>), սակայն որոշ ֆինանսական կարիքների պարագայում ընկերություններն այս գործիքն օգտագործում են պարտք ներգրավելու համար:

Արժեկտրոնային պարտատոմսի և մասնակի մարումներով արժեկտրոնային պարտատոմսի դրամական հոսքերի կառուցվածքների տարբերությունը, այլ հավասար պայմաններում, հանգեցնում է պարտատոմսերի գների, մինչև մարում եկամտաբերությունների, դյուրացիաների միջև տարբերությունների: Սույն հոդվածի շրջանակում վերոգրյալ երկու տիպի պարտատոմսերի պարամետրերի (արժեկտրոնի դրույք և արժեկտրոնների քանակ) հավասար լինելու ենթադրության պայմաններում ուսումնասիրվում է պարտատոմսերի մինչև մարում եկամտաբերությունների համատեղ վարքագիծը՝ սփոթ կորի տարբեր տեսքերի դեպքում:

**Գրականության ակնարկ:** Մասնագիտական աղբյուրներում ֆիքսված եկամտով արժեթղթերին (fixed income securities), մասնավորապես՝ պարտատոմսերին և պարտատոմսերի շուկաներին նվիրված է հսկայածավալ բաժին, որը ֆիքսված եկամտով արժեթղթերը և դրանց շուկաներն ուսումնասիրում է տարբեր դիտանկյուններից: Պարտատոմսերին վերաբերող ուսումնասիրություններում առավելապես ուշադրության կենտրոնում են եկամտաբերության կորերի մոդելավորումը և դրանց հետազոտումը (*Ջ. Ֆրենսիս, Ջ. Հուա<sup>2</sup>, Ռ. Ֆյուս, Օ. Նիկիտինա<sup>3</sup>, Ա. Կալոտեյ, Մ. Դորիգան<sup>4</sup>, Բ. Նելսոն, Ա. Սիգել<sup>5</sup>, Օ.*

<sup>1</sup> Տե՛ս *Guerard J.B., Schwartz E.*, Quantitative Corporate Finance. Springer Science & Business Media, 2007.

<sup>2</sup> Տե՛ս *Francis J.C., Hua J.*, Forecasting Yield Curves with Survey Information. The Journal of Portfolio Management, 38 (3), 2012, էջ 149-155:

<sup>3</sup> Տե՛ս *Füss R., Nikitina O.*, Explaining Yield Curve Dynamics. The Journal of Fixed Income, 21(2), 2011, էջ 68-87:

<sup>4</sup> Տե՛ս *Kalotay A.J., Dorigan M.P.*, What Makes the Municipal Yield Curve Rise? The Journal of Fixed Income, 18(3), 2009, էջ 65-71:

Վասիլքել<sup>6</sup>), պարտատոմսերում ներդրում անելու հետ կապված ռիսկերի, մասնավորապես՝ տոկոսադրույքի ռիսկին վերաբերող որոշ հարցեր (Ջ. Աֆիկ, Ջ. Գադի, Ջ. Ուիներ<sup>7</sup>, Թ. Առնոլդ, Ջ. Հոյ, Ս.Մարշալ<sup>8</sup>, Ջ. Բյուրոու, Ֆ. Ֆարոզի, Բ. Հանկե<sup>9</sup>, Բ. Գոլուբ, Լ. Թիլման<sup>10</sup>, Ա. Իլմանեն<sup>11</sup>, Ա. Կալոտայ, Ջ. Բուրսմա<sup>12</sup> և այլք):

Չնայած պարտատոմսերի վերաբերյալ հետազոտական աշխատանքների լայնածավալ մասշտաբներին՝ հետազոտություններում առկա չեն հասարակ արժեկտրոնային պարտատոմսի և մասնակի մարումներով արժեկտրոնային պարտատոմսի միջև զուգահեռներ տանելու փորձեր: Մասնավորապես, հասարակ արժեկտրոնային պարտատոմսի և մասնակի մարումներով արժեկտրոնային պարտատոմսի պարամետրերի (արժեկտրոնի դրույք և արժեկտրոնների քանակ) հավասար լինելու դեպքում հետազոտված չեն պարտատոմսերի այլ պարամետրերի (օրինակ՝ մինչև մարում եկամտաբերություն, Մաքրոլի կամ ձևափոխված դյուրացիա) միջև առաջացող տարբերությունները՝ պայմանավորված պարտատոմսերի դրամական հոսքերի կառուցվածքային առանձնահատկություններով:

**Հետազոտության մեթոդաբանություն:** Ափոթ կորի տարբեր տեսքերի դեպքում պարտատոմսերի մինչև մարում եկամտաբերությունների միջև կապը հետազոտելու նպատակով թվային մեթոդների կիրառմամբ մշակվում է եռաքայլ ալգորիթմ: Ալգորիթմի առաջին քայլով Նելսոն-Սիգելի մոդելի միջոցով սիմուլյացվում են սփոթ կորեր, որոնք ունեն համահարթ, աճող և նվազող տեսքեր՝ մակարդակի և թեքության պարամետրերի տարբեր արժեքներով: Երկրորդ քայլով, կիրառելով Նյուտոն-Ռաֆսոնի մեթոդը, Նելսոն-Սիգելի մոդելի պարամետրերի տարբեր արժեքների համար գնահատվում են պարտատոմսերի մինչև մարում եկամտաբերությունները: Երրորդ քայլով, գծային ինտերպոլյացիայի մեթոդով մոտարկվում է պարտատոմսերի մինչև մարում եկամտաբերությունների տարբերության ֆունկցիան:

### **Սահմանումներ**

**Պարտատոմսի գին.** պարտատոմսի գինը սպասվող դրամական հոսքի ներկա արժեքն է, հետևաբար տրվում է հետևյալ բանաձևով՝

<sup>5</sup> Տե՛ս Nelson C.R., Siegel A.F., Parsimonious Modeling of Yield Curves. Journal of Business, 60 (4), 1987, էջ 473–489:

<sup>6</sup> Տե՛ս Vasicek O.A., Interpolating the Yield Curve. The Journal of Fixed Income, 2020:

<sup>7</sup> Տե՛ս Afik Z., Gady J., Wiener Z., Duration and Globalization. The Journal of Fixed Income, 28(2), 2018, էջ 31-43.

<sup>8</sup> Տե՛ս Arnold T., Earl J.H., Marshall C.D., A Quick Approximation for Modified Bond Duration and Convexity. The Journal of Wealth Management Winter, 18(3), 2015, էջ 53-56:

<sup>9</sup> Տե՛ս Buetow G.W., Fabozzi F.J., Hanke B., A Note on Common Interest Rate Risk Measures. The Journal of Fixed Income, 2003, 13(2), էջ 46-54:

<sup>10</sup> Տե՛ս Golub B.W., Tilman L.M., Measuring Yield Curve Risk Using Principal Components, Analysis, Value, At Risk, And Key Rate Durations. The Journal of Portfolio Management, 23 (4), 1997, էջ 72-84:

<sup>11</sup> Տե՛ս Ilmanen A., When do Bond Markets Reward Investors for Interest Rate Risk? The Journal of Portfolio Management, 22(2), 1996, էջ 52-64:

<sup>12</sup> Տե՛ս Kalotay A., Buurisma J., The Key Rate Durations of Municipal Bonds. The Journal of Fixed Income, 29(2), 2019, էջ 61-64:

$$P(B(0,1), \dots, B(0,n), CF_1, \dots, CF_n, n) = \sum_{t=1}^n B(0,t)CF_t, \quad (1)$$

որտեղ՝  $B(0,t)$ -ն  $t$ -րդ պահին ստացվող միավոր դրամական հոսքի բերված արժեքն է ժամանակի  $t = 0$  պահին,

$CF_t$ -ն՝  $t$ -րդ պահին ստացվող դրամական հոսքը,

$n$ -ը՝ պարտատոմսի վճարումների քանակը,

$P(B(0,1), \dots, B(0,n), CF_1, \dots, CF_n, n)$ -ն՝ պարտատոմսի գինը:

Պարտատոմսի գինը հաշվելու համար անհրաժեշտ է սահմանել  $B(0,1), \dots, B(0,n)$  դիսկոնտավորման գործակիցները, որոնք ընդհանուր դեպքում տրվում են հետևյալ տեսքով՝

$$B(0,t) = \frac{1}{(1 + R(0,t))^t}, \quad (2)$$

որտեղ  $R(0,t)$ -ն սփոթ տոկոսադրույքն է:

**Սփոթ կոր.** սփոթ տոկոսադրույքը որպես ֆունկցիա, կախված ժամկետայնությունից, կոչվում է «սփոթ կոր» (*L. Մարտելլինի, Պ. Պրիաուլետ, Ս. Պրիաուլետ*<sup>13</sup>): Սփոթ կորը, ժամկետայնությունից կախված, հիմնականում աճող տեսք ունի, ինչը ենթադրում է, որ որքան երկար է ժամկետայնությունը, այնքան բարձր է եկամտաբերությունը: Նվազող տեսքով սփոթ կորի դեպքում որքան երկար է ժամկետայնությունը, այնքան ցածր է եկամտաբերությունը: Այն դեպքում, երբ եկամտաբերությունը մոտավորապես նույնն է՝ անկախ ժամկետայնությունից, սփոթ կորը հայտնի է որպես համահարթ սփոթ կոր:

**Մինչև մարում եկամտաբերություն.** մինչև մարում եկամտաբերությունը դիսկոնտավորման այն տոկոսադրույքն է, որը հավասարեցնում է պարտատոմսի դրամական հոսքերի բերված արժեքն իր շուկայական գնին և հանդիսանում է պարտատոմսի սպասվող դրամական հոսքերի եկամտաբերության ներքին նորմը: Այլ կերպ ասած, մինչև մարում եկամտաբերությունը սփոթ դրույքների կշռված միջինն է<sup>14</sup> (*Դ. Սմիթ*<sup>15</sup>):

$$P(R(0,1), \dots, R(0,n), CF_1, \dots, CF_n, n) = \sum_{t=1}^n \frac{CF_t}{(1 + R(0,t))^t} = \sum_{t=1}^n \frac{CF_t}{(1 + y)^t} = P(y, CF_1, \dots, CF_n, n), \quad (3)$$

որտեղ  $y$ -ը մինչև մարում եկամտաբերությունն է:

**Արժեկտրոնային պարտատոմսի գին.** արժեկտրոնային պարտատոմսը որոշակի պարբերականությամբ վճարում է ֆիքսված արժեկտրոններ, իսկ պարտատոմսի անվանական արժեքը վճարում է պարտատոմսի մարման պահին<sup>16</sup>: Հետևաբար, արժեկտրոնային պարտատոմսի գինը կարող է ներկայացվել հետևյալ բանաձևի միջոցով՝

<sup>13</sup> Տե՛ս Martellini L., Priaulet P., Priaulet S., Fixed-Income Securities. Wiley & Sons, 2003:

<sup>14</sup> Տե՛ս CFA Institute Investment Series, Fixed Income Analysis (3<sup>rd</sup> Edition). Wiley & Sons, 2015:

<sup>15</sup> Տե՛ս Smith D.J., Bond Math: The Theory Behind the Formulas. Wiley & Sons, 2011:

<sup>16</sup> Արժեկտրոնային պարտատոմսի դրամական հոսքի կառուցվածքը ենթադրում է, որ  $t = 1, \dots, n - 1$   $CF_t = aN$  և  $CF_n = aN + N$ :

$$P'(R(0,1), \dots, R(0,n), N, \alpha, n) = \sum_{t=1}^n \frac{\alpha N}{(1 + R(0,t))^t} + \frac{N}{(1 + R(0,n))^n}, \quad (4)$$

որտեղ՝  $N$ -ը պարտատոմսի անվանական արժեքն է,  
 $\alpha$ -ն՝ արժեկտրոնի դրույքը,

$P'(R(0,1), \dots, R(0,n), N, \alpha, n)$ -ը՝ արժեկտրոնային պարտատոմսի գինը:

**Մասնակի մարումներով արժեկտրոնային պարտատոմսի գին.** մասնակի մարումներով արժեկտրոնային պարտատոմսի անվանական արժեքը վճարվում է հավասար մասնակի վճարումների միջոցով<sup>17</sup>, հետևաբար գինը տրվում է հետևյալ բանաձևի միջոցով՝

$$P''(R(0,1), \dots, R(0,n), N, \alpha, n) = \sum_{t=1}^n \frac{\alpha \left( N - \frac{N}{n}(t-1) \right) + \frac{N}{n}}{(1 + R(0,t))^t}, \quad (5)$$

որտեղ  $P''(R(0,1), \dots, R(0,n), N, \alpha, n)$ -ը մասնակի մարումներով արժեկտրոնային պարտատոմսի գինն է:

**Ենթադրություններ**

Այս հետազոտության առանցքային ենթադրությունը հետևյալն է. Արժեկտրոնային պարտատոմսի և մասնակի մարումներով արժեկտրոնային պարտատոմսի արժեկտրոնի դրույքները և արժեկտրոնների քանակները հավասար են: Բացի դրանից, պարզության համար ենթադրվում է, որ պարտատոմսերի արժեկտրոնները վճարվում են տարեկան պարբերականությամբ:

**Վերլուծություն**

**Անալիտիկ մեթոդի սահմանափակումներ**

Հասարակ արժեկտրոնային պարտատոմսի և մասնակի մարումներով արժեկտրոնային պարտատոմսի պարամետրերի (արժեկտրոնի դրույք և արժեկտրոնների քանակ) հավասար լինելու դեպքում պարտատոմսերի մինչև մարում եկամտաբերությունները տարբեր են՝ պայմանավորված դրամական հոսքերի կառուցվածքային տարբերությամբ: Բացառություն է այն դեպքը, երբ սփոթ կորը համահարթ է, որի դեպքում պարտատոմսերի մինչև մարում եկամտաբերությունները հավասար են: Այս պնդումը ակնհայտ է հետևյալ երկու հավասարումներից՝

$$\underbrace{\sum_{t=1}^n \frac{\alpha N}{(1 + R(0,t))^t} + \frac{N}{(1 + R(0,n))^n}}_{P'(R(0,1), \dots, R(0,n), \cdot)} = \underbrace{\sum_{t=1}^n \frac{\alpha N}{(1 + y')^t} + \frac{N}{(1 + y')^n}}_{P'(y', \cdot)}, \quad (6)$$

$$\underbrace{\sum_{t=1}^n \frac{\alpha \left( N - \frac{N}{n}(t-1) \right) + \frac{N}{n}}{(1 + R(0,t))^t}}_{P''(R(0,1), \dots, R(0,n), \cdot)} = \underbrace{\sum_{t=1}^n \frac{\alpha \left( N - \frac{N}{n}(t-1) \right) + \frac{N}{n}}{(1 + y'')^t}}_{P''(y'', \cdot)}, \quad (7)$$

<sup>17</sup> Մասնակի մարումներով արժեկտրոնային պարտատոմսը ենթադրում է, որ  $t = 1, \dots, n$ -ի համար  $C\bar{F}_t = \alpha \left( N - \frac{N}{n}(t-1) \right) + \frac{N}{n}$ :

որտեղ  $y'$ -ը և  $y''$ -ը համապատասխանաբար արժեկտրոնային պարտատոմսի և մասնակի մարումներով արժեկտրոնային պարտատոմսի մինչև մարում եկամտաբերություններն են, որոնք հավասար են համահարթ սփոթ կորի ենթադրության պարագայում ( $R(0,1) = R(0,2) = \dots = R(0,n) = y' = y''$ ): Այնուամենայնիվ, աճող կամ նվազող տեսքով սփոթ կորի դեպքում, պարտատոմսերի մինչև մարում եկամտաբերությունների միջև կապը որոշակի չէ: Այս դեպքերն ուսումնասիրելու նպատակով, պարզագույն ձևափոխությունների կիրառմամբ, (6) և (7) հավասարումները ներկայացվում են հետևյալ տեսքերով՝

$$\left( \sum_{t=1}^n \frac{\alpha}{(1+R(0,t))^t} + \frac{1}{(1+R(0,n))^n} \right) (1+y')^n - \sum_{t=1}^n \alpha(1+y')^{n-t} - 1 = 0, \quad (8)$$

$$\sum_{t=1}^n \frac{\alpha \left(1 - \frac{1}{n}(t-1)\right) + \frac{1}{n}}{(1+R(0,t))^t} (1+y'')^n - \sum_{t=1}^n \left( \alpha \left(1 - \frac{1}{n}(t-1)\right) + \frac{1}{n} \right) (1+y'')^{n-t} = 0: \quad (9)$$

$y'$ -ի և  $y''$ -ի միջև փոխկապակցվածությունը որոշելու նպատակով անհրաժեշտ է լուծել (8) և (9) բազմանդամային հավասարումները՝ համապատասխանաբար  $1+y'$ -ի և  $1+y''$ -ի նկատմամբ, այնուհետև արմատներից հանել 1: Այնուամենայնիվ, համաձայն Աբել-Բուֆֆինիի թեորեմի (հայտնի է նաև որպես Աբելի թեորեմ)՝ հնարավոր չէ գտնել 5 և 5-ից բարձր աստիճանի բազմանդամային հավասարման հանրահաշվական լուծում: Հետևաբար, (8) և (9) բազմանդամային հավասարումների հանրահաշվական լուծումները հնարավոր է գտնել համապատասխան մեթոդների միջոցով, եթե պարտատոմսերի արժեկտրոնների քանակը չի գերազանցում 4-ը ( $n = 2,3,4$ ): Մասնավորապես,  $n = 3$  և  $n = 4$  դեպքերում լուծումը հնարավոր է գտնել՝ օգտագործելով համապատասխանաբար Կարդանոյի և Ֆերրարիի մեթոդները: Այնուամենայնիվ, կարելի է ցույց տալ, որ  $n = 2,3,4$  դեպքերում բազմանդամային հավասարումների արմատներն ունեն բարդ տեսք, ինչը հանրահաշվական առումով առավել բարդացնում է  $y'$ -ի և  $y''$ -ի միջև փոխկապակցվածությունը որոշելու խնդիրը: Օրինակ, ամենապարզ դեպքում  $n = 2$  (8) հավասարման արմատը ունի հետևյալ տեսքը՝

$$y' = \frac{\alpha + \sqrt{\alpha^2 + 4(1+\alpha)k'}}{2k'} - 1, \quad (10)$$

որտեղ  $k' \triangleq \frac{\alpha}{1+R(0,1)} + \frac{1+\alpha}{(1+R(0,2))^2}$ :

Իսկ (9) հավասարման արմատը  $n = 2$  դեպքում ունի հետևյալ տեսքը՝

$$y'' = \frac{\alpha + 1/2 + \sqrt{(\alpha + 1/2)^2 + 4(\alpha(1 + 1/2) + 1/2)k''}}{2k''} - 1, \quad (11)$$

որտեղ  $k'' \triangleq \frac{\alpha + 1/2}{1+R(0,1)} + \frac{\alpha(1+1/2) + 1/2}{(1+R(0,2))^2}$ :

Պարտատոմսերի մինչև մարում եկամտաբերությունների համատեղ վարքագծի անալիտիկ ուսումնասիրության նկատառումից ելնելով՝ հնարավոր է նաև դիտարկել բազմանդամի արմատների սահմանների գնահատման դասական մեթոդների կիրառման արդյունավետությունը: Կոշու թեորեմը (<Հիրստ, Ու. Մասեյ<sup>18)</sup> պնդում է, որ եթե  $x$ -ը  $f(x) = a_n x^n + a_{n-1} x^{n-1} + \dots + a_1 x + a_0$  բազմանդամի արմատն է, որտեղ  $n \geq 1$  և  $a_n \neq 0$ , ապա

$$|x| \leq 1 + \max_{0 \leq k \leq n-1} \left| \frac{a_k}{a_n} \right|: \tag{12}$$

Համաձայն Դեկարտի նշանների կանոնի (rule of signs)՝ (8) և (9) բազմանդամային հավասարումներն ունեն մեկ դրական արմատ, ուստի, բազմանդամային հավասարումների արմատների համար կիրառելով Կոշու թեորեմը, ստացվում է՝

$$I' := \left\{ y' \mid 0 \leq y' \leq 1 + (1 + \alpha) / \left( \sum_{t=1}^n \frac{\alpha}{(1 + R(0, t))^t} + \frac{1}{(1 + R(0, n))^n} \right) \right\}, \tag{13}$$

$$I'' := \left\{ y'' \mid 0 \leq y'' \leq 1 + (\alpha + 1/n) / \sum_{t=1}^n \frac{\alpha \left( 1 - \frac{1}{n}(t-1) \right) + \frac{1}{n}}{(1 + R(0, t))^t} \right\}: \tag{14}$$

Քննության առնելով  $I'$  և  $I''$  – ը, ակնհայտ է, որ  $I' \cap I'' \neq \emptyset$ : Որպես հետևություն, արժեկտրոնային պարտատոմսի և մասնակի մարումներով արժեկտրոնային պարտատոմսի մինչև մարում եկամտաբերությունների միջև համատեղ վարքագծի ուսումնասիրության համատեքստում այս մոտեցումը, ընդհանուր առմամբ, անարդյունավետ է: Բացի դրանից, նմանօրինակ դատողություններ հնարավոր է կատարել այլընտրանքային մեթոդների կիրառմամբ, մասնավորապես՝ արմատների սահմանների որոշման Լագրանժի (<Հիրստ, Ու. Մասեյ<sup>19)</sup> և Ֆուլիվարայի (*Մ. Ֆուլիվարա*<sup>20)</sup> մեթոդներով, որոնք համապատասխանաբար սահմանվում են հետևյալ կերպ՝

$$\max \left\{ 1, \sum_{k=0}^{n-1} \left| \frac{a_k}{a_n} \right| \right\}, \tag{15}$$

$$2 \max \left\{ \left| \frac{a_{n-1}}{a_n} \right|, \left| \frac{a_{n-2}}{a_n} \right|^{\frac{1}{2}}, \dots, \left| \frac{a_1}{a_n} \right|^{\frac{1}{n-1}}, \left| \frac{a_0}{2a_n} \right|^{\frac{1}{n}} \right\}: \tag{16}$$

**Թվային մեթոդ**

Անալիտիկ մեթոդի կիրառման անարդյունավետության պայմաններում հասարակ արժեկտրոնային պարտատոմսի և մասնակի մարումներով արժեկտրոնային պարտատոմսի մինչև մարում եկամտաբերությունների միջև կապը հնարավոր է սահմանել թվային մեթոդների կիրառման միջոցով: Հաջոր-

<sup>18</sup> St' u Hirst H.P., Macey W.T., Bounding the Roots of Polynomials. The College Mathematics Journal, 28(4), 1997, էջ 292-295:

<sup>19</sup> St' u նույն տեղը:

<sup>20</sup> St' u Fujiwara M., Über die obere Schranke des absoluten Betrages der Wurzeln einer algebraischen Gleichung. Tohoku Mathematical Journal, First series, 10, 1916, էջ 167–171:

դիվ ներկայացված է սույն հոդվածի շրջանակում մշակված թվային գնահատման եռաքայլ ալգորիթմը:

**Քայլ 1 – Սփոթ կորերի սիմուլյացիա.** Նելսոն-Սիգելի մոդելի շրջանակում սիմուլյացվում են սփոթ կորեր, որոնք ունեն համահարթ, աճող և նվազող տեսքեր՝ մակարդակի (level) և թեքության (slope) պարամետրերի տարբեր արժեքներով:

Նելսոն-Սիգելի մոդելը (*Ս.Նելսոն, Ա. Սիգել*<sup>21</sup>) ենթադրում է, որ ֆորվարդ կորը կարող է ներկայացվել հետևյալ տեսքով՝

$$f(0, t) = \beta_0 + \beta_1 e^{-\frac{t}{\tau_1}} + \beta_2 \left(\frac{t}{\tau_1}\right) e^{-\frac{t}{\tau_1}}, \tag{17}$$

որտեղ  $f(0, t)$ -ն ֆորվարդ տոկոսադրույքն է և  $\beta_0, \beta_1, \beta_2, \tau_1$ -ները պարամետրերն են: Կիրառելով

$$R^c(0, t) = \frac{1}{t} \int_0^t f(0, s) ds, \tag{18}$$

ստացվում է, որ

$$R^c(0, t) = \beta_0 + \beta_1 \left(\frac{1 - e^{-\frac{t}{\tau_1}}}{\frac{t}{\tau_1}}\right) + \beta_2 \left(\frac{1 - e^{-\frac{t}{\tau_1}}}{\frac{t}{\tau_1}} - e^{-\frac{t}{\tau_1}}\right), \tag{19}$$

որտեղ  $R^c(0, t)$ -ն անընդհատ հաշվեգրվող սփոթ տոկոսադրույքն է:  $\beta_0, \beta_1, \beta_2$  պարամետրերը համապատասխանաբար չափում են կորի մակարդակը, թեքությունը և կորությունը, իսկ  $\tau_1$ -ը մասշտաբի (scale) պարամետրն է: Հայտնի է, որ եթե  $\beta_1 > 0$  և  $\beta_1 < 0$ , ապա սփոթ կորը համապատասխանաբար աճող է և նվազող:

$\beta_2 = 0$  և  $\beta_0 \in [0.05, 0.1]$ ,  $\beta_1 \in [-0.05, 0.05]$ ,  $\alpha \in [0.01, 0.1]$ ,  $n \in [10, 30] \cap \mathbb{Z}^+$ ,  $\tau_1 = 3.0$  ենթադրություններով<sup>22</sup>, Նելսոն-Սիգելի մոդելի միջոցով սիմուլյացված սփոթ տոկոսադրույքները տեղադրելով (8) և (9) բազմանդամային հավասարումներում, ստացվում է՝

$$\left( \sum_{t=1}^n \frac{\alpha}{\left(1 + \beta_0 + \beta_1 \frac{\tau_1}{t} \left(1 - e^{-\frac{t}{\tau_1}}\right)\right)^t} + \frac{1}{\left(1 + \beta_0 + \beta_1 \frac{\tau_1}{n} \left(1 - e^{-\frac{n}{\tau_1}}\right)\right)^n} \right) (1 + y')^n - \sum_{t=1}^n \alpha (1 + y')^{n-t} - 1 = 0, \tag{20}$$

$$\sum_{t=1}^n \frac{\alpha \left(1 - \frac{1}{n}(t-1)\right) + \frac{1}{n}}{\left(1 + \beta_0 + \beta_1 \frac{\tau_1}{t} \left(1 - e^{-\frac{t}{\tau_1}}\right)\right)^t} (1 + y'')^n - \sum_{t=1}^n \left(\alpha \left(1 - \frac{1}{n}(t-1)\right) + \frac{1}{n}\right) (1 + y'')^{n-t} = 0: \tag{21}$$

**Քայլ 2 – Բազմանդամների արմատների գնահատում.** այս քայլով գնահատվում են (20) և (21) բազմանդամային հավասարումների արմատները: Այդ նպատակով,  $\beta_0 \in [0.05, 0.1]$ ,  $\beta_1 \in [-0.05, 0.05]$ ,  $\alpha \in [0.01, 0.1]$

<sup>21</sup> Տե՛ս Nelson C.R., Siegel A.F., Parsimonious Modeling of Yield Curves. Journal of Business, 60 (4), 1987, 473-489:

<sup>22</sup>  $\beta_2 = 0$  ենթադրությունը երաշխավորում է, որ  $\beta_1 = 0$  պայմանի դեպքում սփոթ կորը համահարթ է:



յուրաքանչյուր ինտերվալից նույնականացվում (իդենտիֆիկացվում) են  $m$  հավասարաչափ հեռացված կետեր, որոնց համապատասխան բազմություններն են՝  $\omega_{\beta_0}^m := \{\beta_{0_i}\}_{i=1}^m$ , որտեղ  $\beta_{0_1} < \dots < \beta_{0_m}$ ,  $\omega_{\beta_1}^m := \{\beta_{1_i}\}_{i=1}^m$ , որտեղ  $\beta_{1_1} < \dots < \beta_{1_m}$  և  $\omega_{\alpha}^m := \{\alpha_i\}_{i=1}^m$ , որտեղ  $\alpha_1 < \dots < \alpha_m$ <sup>23</sup>: Բացի դրանից,  $n \in [10,30] \cap \mathbb{Z}^+$  ինտերվալում նույնականացվում են  $k$  հավասարաչափ հեռացված կետեր, իսկ համապատասխան բազմությունը սահմանվում է որպես  $\omega_n^k := \{n_i\}_{i=1}^k$ , որտեղ  $n_1 < \dots < n_k$ <sup>24</sup>: Ի հավելումն, ֆիքսվում է  $\tau_1 = 3.0$ , և հետևաբար  $\omega_{\tau_1} := \{\tau_1\}$ -ն մեկ տարր պարունակող բազմություն է:

Համաձայն Դեկարտի նշանների կանոնի՝ (20) և (21) բազմանդամային հավասարումներն ունեն մեկ դրական արմատ: Արդյունքում, կիրառելով Նյուտոն-Ռաֆսոնի մեթոդը, բազմանդամային հավասարումների արմատները գնահատվում են պարամետրերի արժեքների հետևյալ գրիդի վրա՝

$$\omega_{\beta_0}^m \times \omega_{\beta_1}^m \times \omega_{\tau_1} \times \omega_{\alpha}^m \times \omega_n^k = \{(\beta_0, \beta_1, \tau_1, \alpha, n) | \beta_0 \in \omega_{\beta_0}^m, \beta_1 \in \omega_{\beta_1}^m, \tau_1 \in \omega_{\tau_1}, \alpha \in \omega_{\alpha}^m, n \in \omega_n^k\}: \quad (22)$$

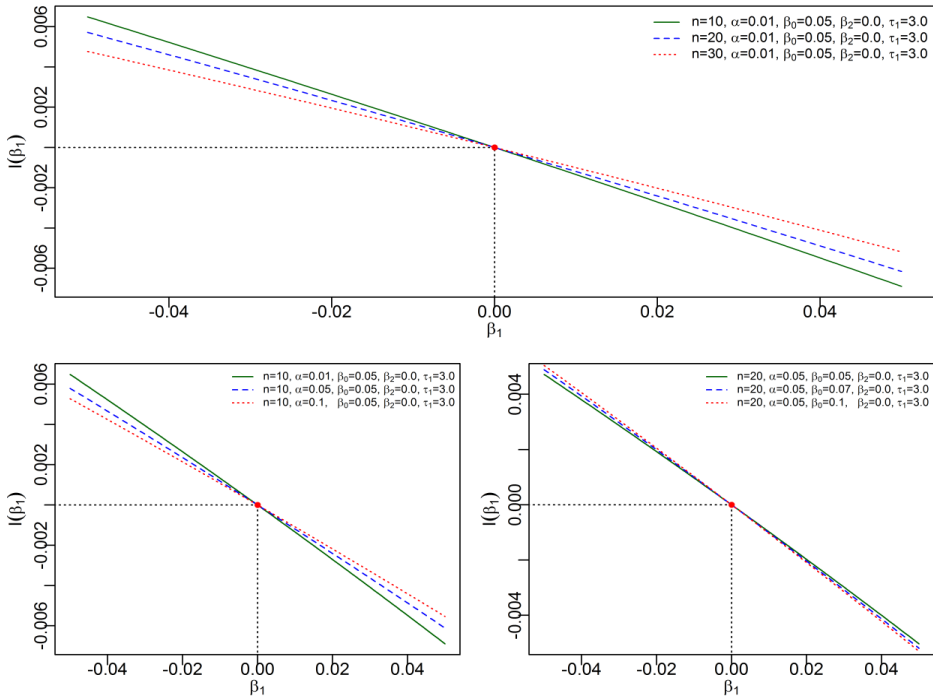
Ընդհանուր առմամբ, գնահատվում են (20) և (21) հավասարումների  $m^3 \times k$  թվով արմատներ՝  $\beta_0, \beta_1, \alpha, \tau_1, n$  պարամետրերի տարբեր արժեքների դեպքում, որտեղ  $\beta_0 \in \omega_{\beta_0}^m, \beta_1 \in \omega_{\beta_1}^m, \alpha \in \omega_{\alpha}^m, \tau_1 \in \omega_{\tau_1}$  և  $n \in \omega_n^k$ : Այլ կերպ ասած, (20) և (21) հավասարումներից գնահատվում են հասարակ արժեկտրոնային պարտատոմսի և մասնակի մարումներով արժեկտրոնային պարտատոմսի մինչև մարում եկամտաբերություններ՝ Նելսոն-Սիգելի մոդելի միջոցով մոդելավորված սփոթ կորի պարամետրերի տարբեր արժեքների դեպքում:

**Քայլ 3 – Ինտերպոլյացիա.** հասարակ արժեկտրոնային պարտատոմսի և մասնակի մարումներով արժեկտրոնային պարտատոմսի մինչև մարում եկամտաբերությունների համատեղ վարքագիծը սփոթ կորի տարբեր տեսքերի պարագայում ուսումնասիրելու համար դիտարկվում է  $y'$ -ի և  $y''$ -ի տարբերությունը՝ կախված  $\beta_1$  պարամետրից, ինչը սահմանում է սփոթ կորի թեքությունը: Այս նպատակով, նախորդ քայլով գնահատված տվյալների հիման վրա, կիրառելով գծային ինտերպոլյացիայի մեթոդը, գնահատվում է  $\mathcal{J}_{\beta_0, \tau_1, \alpha, n}(\beta_1)$  ինտերպոլանտը, ինչը մոտարկում է պարտատոմսերի մինչև մարում եկամտաբերությունների տարբերության ֆունկցիան՝ կախված  $\beta_1$  պարամետրից՝  $\beta_0, \tau_1, \alpha, n$  պարամետրերի ֆիքսված արժեքների դեպքում:

Գնահատումները ցույց են տալիս, որ  $\mathcal{J}_{\beta_0, \tau_1, \alpha, n}(\beta_1)$  ինտերպոլանտը ընդունում է 0 արժեքը, երբ  $\beta_1 = 0$ : Բացի դրանից, ինտերպոլանտը դրական կամ բացասական արժեքներ է ընդունում համապատասխանաբար  $\beta_1 < 0$  և  $\beta_1 > 0$  դեպքերում: Գծապատկեր 1-ը ներկայացնում է վերոգրյալ օրինաչափությունը  $\beta_0, \tau_1, \alpha$  և  $n$  պարամետրերի որոշակի արժեքների դեպքում:

<sup>23</sup> Ենթադրվում է, որ  $m = 50$ :

<sup>24</sup> Ենթադրվում է, որ  $k = 3$ :



**Գծապատկեր 1.  $\mathcal{J}_{\beta_0, \tau_1, \alpha, n}(\beta_1)$  ինտերպոլանսը՝  $\beta_0, \tau_1, \alpha$  և  $n$  պարամետրերի որոշակի արժեքների դեպքում**

Կիրառված եռաքայլ ալգորիթմի միջոցով ստացված արդյունքները վկայում են, որ եթե սփոթ կորն ունի աճող տեսք, ապա, այլ հավասար պայմաններում, արժեկտրոնային պարտատոմսի մինչև մարում եկամտաբերությունը գերազանցում է մասնակի մարումներով արժեկտրոնային պարտատոմսի մինչև մարում եկամտաբերությանը: Ինչպես նաև, հակադարձ փոխկապակցվածություն կա պարտատոմսերի մինչև մարում եկամտաբերությունների միջև, երբ սփոթ կորը նվազող է:

**Եզրակացություններ:** Հասարակ արժեկտրոնային պարտատոմսի և մասնակի մարումներով արժեկտրոնային պարտատոմսի դրամական հոսքերի կառուցվածքների տարբերությունը, այլ հավասար պայմաններում, հանգեցնում է պարտատոմսերի մինչև մարում եկամտաբերությունների միջև տարբերության: Սույն հոդվածում հասարակ արժեկտրոնային և մասնակի մարումներով արժեկտրոնային պարտատոմսերի պարամետրերի (արժեկտրոնի դրույք և արժեկտրոնների քանակ) հավասար լինելու ենթադրության պայմաններում ուսումնասիրվում է պարտատոմսերի մինչև մարում եկամտաբերությունների համատեղ վարքագիծը՝ սփոթ կորի աճող, նվազող և համահարթ տեսքերի դեպքերում:

Վերոգրյալ խնդրի ուսումնասիրության նկատառումից ելնելով՝ նախ քննության է առնվում անալիտիկ մեթոդների կիրառման արդյունավետության հարցը, այնուհետև թվային մեթոդների հենքով մշակվում է եռաքայլ ալգորիթմ, ինչը հնարավորություն է տալիս վերլուծելու հասարակ արժեկտրոնային և մասնակի մարումներով արժեկտրոնային պարտատոմսերի մինչև մարում եկամտաբերությունների միջև կապը:

Նելսոն-Սիգելի մոդելով սփոթ կորերի սիմուլյացիայի և թվային մեթոդների կիրառման միջոցով ցույց է տրվում, որ աճող սփոթ կորի դեպքում հասարակ արժեկտրոնային պարտատոմսի մինչև մարում եկամտաբերությունը գերազանցում է մասնակի մարումներով արժեկտրոնային պարտատոմսի մինչև մարում եկամտաբերությանը՝ պարտատոմսերի պարամետրերի (արժեկտրոնի դրույք և արժեկտրոնների քանակ) հավասար լինելու ենթադրության պայմաններում: Նվազող սփոթ կորի դեպքում հասարակ արժեկտրոնային պարտատոմսի և մասնակի մարումներով արժեկտրոնային պարտատոմսի մինչև մարում եկամտաբերությունների միջև առկա է հակադարձ փոխկապակցվածություն, այսինքն՝ արժեկտրոնային պարտատոմսի մինչև մարում եկամտաբերությունը զիջում է մասնակի մարումներով արժեկտրոնային պարտատոմսի մինչև մարում եկամտաբերությանը: Հասարակ արժեկտրոնային պարտատոմսի և մասնակի մարումներով արժեկտրոնային պարտատոմսի մինչև մարում եկամտաբերությունները համընկնում են միայն այն դեպքում, երբ սփոթ կորն ունի համահարթ տեսք:

### Օգտագործված գրականություն

1. Afik Z., Gady J., Wiener Z., Duration and Globalization. *The Journal of Fixed Income*, 28(2), 2018,
2. Arnold T., Earl J.H., Marshall C.D., A Quick Approximation for Modified Bond Duration and Convexity. *The Journal of Wealth Management Winter*, 18(3), 2015,
3. Buetow G.W., Fabozzi F.J., Hanke B., A Note on Common Interest Rate Risk Measures. *The Journal of Fixed Income*, 2003, 13(2).
4. CFA Institute Investment Series, *Fixed Income Analysis (3<sup>rd</sup> Edition)*. Willey & Sons, 2015.
5. Francis J.C., Hua J., Forecasting Yield Curves with Survey Information. *The Journal of Portfolio Management*, 38 (3), 2012.
6. Fujiwara M., Über die obere Schranke des absoluten Betrages der Wurzeln einer algebraischen Gleichung. *Tohoku Mathematical Journal, First series*, 10, 1916.
7. Füss R., Nikitina O., Explaining Yield Curve Dynamics. *The Journal of Fixed Income*, 21(2), 2011.
8. Golub B.W., Tilman L.M., Measuring Yield Curve Risk Using Principal Components, Analysis, Value, At Risk, And Key Rate Durations. *The Journal of Portfolio Management*, 23 (4), 1997,
9. Guerard J.B., Schwartz E., *Quantitative Corporate Finance*. Springer Science & Business Media, 2007.
10. Hirst H. P., Macey W.T., Bounding the Roots of Polynomials. *The College Mathematics Journal*, 28(4), 1997.
11. Ilmanen A., When do Bond Markets Reward Investors for Interest Rate Risk? *The Journal of Portfolio Management*, 22(2), 1996.
12. Kalotay A., Buursma J., The Key Rate Durations of Municipal Bonds. *The Journal of Fixed Income*, 29(2), 2019.

13. Kalotay A.J., Dorigan M.P., What Makes the Municipal Yield Curve Rise? *The Journal of Fixed Income*, 18(3), 2009.
14. Martellini L., Priaulet P., Priaulet S., *Fixed-Income Securities*. Wiley & Sons, 2003.
15. Nelson C.R., Siegel A.F., Parsimonious Modeling of Yield Curves. *Journal of Business*, 60 (4), 1987.
16. Smith D.J., *Bond Math: The Theory Behind the Formulas*. Wiley & Sons, 2011.
17. Vasicek O.A., Interpolating the Yield Curve. *The Journal of Fixed Income*, 2020.

### ГОР ХАЧАТРЯН

*Аспирант факультета математики и механики ЕГУ*

***Совместное поведение доходностей к погашению по обычным и амортизационным облигациям в условиях различных форм спот-кривых.*** – В данной статье рассматривается совместное поведение доходностей к погашению по обычным и амортизационным облигациям в условиях восходящей и нисходяще-наклонной спот-кривой, когда параметры облигаций (ставка купона и количество периодов) равны. При моделировании спот-кривых с использованием модели Нельсона-Сигеля и применении численных методов было показано, что если спот-кривая имеет наклон вверх, то доходность к погашению по обычным облигациям превышает доходность к погашению по амортизационным облигациям. Кроме того, обратная зависимость сохраняется, когда спот-кривая имеет наклонную вниз форму.

**Ключевые слова:** облигация, амортизационная облигация, доходность к погашению, спот кривая, модель Нельсона-Сигеля, интерполяция.

JEL: C02, C10, G12

### GOR KHACHATRYAN

*PhD student at the Faculty of Mathematics and Mechanics at YSU*

***Joint Behavior of Conventional and Amortizing Bonds' Yields to Maturity under Different Shapes of Spot Curve.*** – This paper studies joint behavior of conventional and amortizing bonds' yields to maturity under upward and downward-sloping spot curve conditions when the bonds' parameters (coupon rate and number of periods) are equal. Simulating spot curves using Nelson-Siegel model and applying numerical methods, it has been shown that if spot curve is upward-sloping, then conventional bond's yield to maturity is greater than amortizing bond's yield to maturity. Furthermore, the inverse relationship holds when spot curve has a downward-sloping shape.

**Keywords:** conventional bond, amortizing bond, yield to maturity, spot curve, Nelson-Siegel model, interpolation.

JEL: C02, C10, G12